

# 鉄筋コンクリート板の曲げに対する一考察

北海道大学 正員 ○ 塙 孝司

" " 能町 純雄

" " 角田 与史雄

## 1. まえがき

コンクリート構造物の設計には、ひびわれ発生前の弾性状態、ひびわれ発生後の状態、塑性変形を伴う極限状態など種々な状態を想定してその使用性や安全性の検討が行われるが、それらの中において弾性解析の意義は非常に大きい。鉄筋ユニクリート版(以下、RC版と略記)の弾性解析においては、最も簡単には鉄筋の存在を無視して等方性版として、またより正確には、直交する二方向の鉄筋量が異なる場合、これを等価の剛性でも直交異方性版として取り扱われるが一般的である。後者として通常用いられる方法は、Huberの一連の研究<sup>(1)~(4)</sup>をもとに部分的修正を加えたTimoshenkoの方法<sup>(5)</sup>であり、良く知られた次式を基礎偏微分方程式とする。

$$D_x \frac{\partial^4 w}{\partial x^4} + 2\sqrt{D_x D_y} \frac{\partial^4 w}{\partial x^2 \partial y^2} + D_y \frac{\partial^4 w}{\partial y^4} = P \quad (1)$$

ここに、 $D_x$  及び  $D_y$  は鉄筋の  $x$  及び  $y$  方向に対する理論を準用して得られる曲げ剛性で、また  $2\sqrt{D_x D_y}$  は実際には網状をなす鉄筋群を考慮して考え、あたかもコンクリート版と鋼板の内的複合体であるかのように仮想することによって導かれた係数である。この方法は解析上の便利さはもとめ、より理論において用いられる換算断面の手法をそのまま準用し易い利点がある。

一方、上記の近似とは異なり、鉄筋群を網状近似する方法がある。このように鉄筋群の網状近似は最近のシャイべの研究<sup>(6)</sup>などに見られるが、古くは Huber の最初の論文<sup>(2)</sup>でもこの網状近似によっている。

実際の版では、鉄筋とコンクリートとの共同作用により、鉄筋の近くに沿うコンクリートに局部的な応力の乱れが生じるために附加的抵抗は存在するか、通常のシャイべ版では、鉄筋径に比べて鉄筋間隔が十分大きいのでこの附加的抵抗は無視出来る程小さいと考えることは出来る<sup>(2)</sup>。

本報告は、鉄筋群を上記のよう網状近似することにより、RC版の異方性版としての一般的な場合の弹性定数を与え、かつRC版中央面に対称の直交配筋の場合について式(1)と比較検討したものである。

## 2. 断面力と変位の関係

厚さ  $R$  の RC 版を考へ、厚さの中央面に作用する単位長さ当たりの力を  $T_x, T_y, T_{xy}$  及びモーメント成分を  $M_x, M_y, M_{xy}$  とする。これらの力のうち、コンクリートの受けもの成分を  $T_{cx}, T_{cy}, T_{cxy}, M_{cx}, M_{cy}, M_{cxy}$  とする。また鉄筋の受けもの成分を  $T_{sx}, T_{sy}, T_{sxy}, M_{sx}, M_{sy}, M_{sxy}$  によって表わす。更に、中央面に直角方向の剪断力を  $Q_x$  及び  $Q_y$  とし、版には中央面に直角方向の力のみが外的に作用するものとし、その単位面積当たりの大さきを  $E$  と表わす。尚、力はすべて引張を正とする。

2.1 ひずみと変位の関係 板中央面から下側まで  $z$  軸をとり、中央面上の点の  $x, y, z$  方向の変位を  $u, v, w$  とする。三方のひずみを無視しがつ平面保持を仮定すれば、中央面から  $z$  だけ離れた点の  $x, y, z$  方向の変位は、それと/or,  $u - z \partial w / \partial x$ ,  $v - z \partial w / \partial y$ ,  $w$  となるので、この点のひずみは

$$\epsilon_x = \frac{\partial u}{\partial x} - z \frac{\partial^2 w}{\partial z^2}, \quad \epsilon_y = \frac{\partial v}{\partial y} - z \frac{\partial^2 w}{\partial z^2}, \quad \gamma_{xy} = \frac{\partial u}{\partial y} + \frac{\partial v}{\partial x} - 2z \frac{\partial^2 w}{\partial z \partial y} \quad (2)$$

と表わせよ

2.2 鉄筋網の断面力と変位の関係 鉄筋網は線状体であるので自身の曲げや剪断に対する抵抗は無視出来程小さく軸応力に対してのみ有効に働くとす。今、図1に示すように  $\theta$  なる角度だけ傾斜した方向に  $x$  と  $y$  両軸で配筋された平行鉄筋群を考えると、鉄筋の軸方向ひずみは次式で表わすことが出来る。

$$E_s = E_x \cos^2 \alpha + E_y \sin^2 \alpha + Y_{xy} \sin \alpha \cos \alpha \quad (3)$$

鉄筋一本当たりの断面積を  $A_s$ ,  $\times$  二ヶ率を  $E_s$  とすれば、鉄筋群の受けた力の各方向成分の単位長さ当たりを大まかに

$$T_{sx} = A_s E_s E_s \cos^2 \alpha / s, T_{sy} = A_s E_s E_s \sin^2 \alpha / s, T_{sxy} = T_{syx} = A_s E_s E_s \sin \alpha \cos \alpha \quad (4)$$

とす。式(3)と式(4)に代入し、かつ多数の平行鉄筋群が存在する場合に一般化すれば次式を得る。

$$T_{sx} = E_s \sum_i (A_s / s_i) (E_x \cos^4 \alpha_i + E_y \sin^2 \alpha_i \cos^2 \alpha_i + Y_{xy} \sin \alpha_i \cos^3 \alpha_i)$$

$$T_{sy} = E_s \sum_i (A_s / s_i) (E_x \sin^2 \alpha_i \cos^2 \alpha_i + E_y \sin^4 \alpha_i + Y_{xy} \sin^3 \alpha_i \cos \alpha_i) \quad (5)$$

$$T_{sxy} = E_s \sum_i (A_s / s_i) (E_x \sin \alpha_i \cos^3 \alpha_i + E_y \sin^3 \alpha_i \cos \alpha_i + Y_{xy} \sin^2 \alpha_i \cos^2 \alpha_i)$$

今、各鉄筋群が  $Z = Z_{s_i}$  の位置にあるものとすれば、式(2)と式(5)に代入して次式を得る。

$$T_{sx} = E_s \sum_i Y_i \left[ \frac{\partial u}{\partial x} \cos^4 \alpha_i + \frac{\partial v}{\partial y} \sin^2 \alpha_i \cos^2 \alpha_i + \left( \frac{\partial u}{\partial y} + \frac{\partial v}{\partial x} \right) \sin \alpha_i \cos^3 \alpha_i \right] \\ - h E_s \sum_i Y_i Z_{s_i} \left[ \frac{\partial w}{\partial x^2} \cos^4 \alpha_i + \frac{\partial w}{\partial y^2} \sin^2 \alpha_i \cos^2 \alpha_i + 2 \frac{\partial^2 w}{\partial xy} \sin \alpha_i \cos^3 \alpha_i \right]$$

$$T_{sy} = h E_s \sum_i Y_i \left[ \frac{\partial u}{\partial x} \sin^2 \alpha_i \cos^2 \alpha_i + \frac{\partial v}{\partial y} \sin^4 \alpha_i + \left( \frac{\partial u}{\partial y} + \frac{\partial v}{\partial x} \right) \sin^3 \alpha_i \cos \alpha_i \right] \\ - h E_s \sum_i Y_i Z_{s_i} \left[ \frac{\partial w}{\partial x^2} \sin^2 \alpha_i \cos^2 \alpha_i + \frac{\partial w}{\partial y^2} \sin^4 \alpha_i + \left( \frac{\partial u}{\partial y} + \frac{\partial v}{\partial x} \right) \sin^3 \alpha_i \cos \alpha_i \right]$$

$$T_{sxy} = h E_s \sum_i Y_i \left[ \frac{\partial u}{\partial x} \sin \alpha_i \cos^3 \alpha_i + \frac{\partial v}{\partial y} \sin^3 \alpha_i \cos \alpha_i + \left( \frac{\partial u}{\partial y} + \frac{\partial v}{\partial x} \right) \sin^2 \alpha_i \cos^2 \alpha_i \right] \\ - h E_s \sum_i Y_i Z_{s_i} \left[ \frac{\partial w}{\partial x^2} \sin \alpha_i \cos^3 \alpha_i + \frac{\partial w}{\partial y^2} \sin^3 \alpha_i \cos \alpha_i + 2 \frac{\partial^2 w}{\partial xy} \sin^2 \alpha_i \cos^2 \alpha_i \right]$$

$= 0$ ,  $Y_i = A_s / s_i$  である。また、これらの鉄筋群に対するモーメント成分は次式で表わせる。

$$M_{sx} = T_{sx} Z_{s_i}, M_{sy} = T_{sy} Z_{s_i}, M_{sxy} = T_{sxy} Z_{s_i} \quad (7)$$

2.3 コンクリート版の断面力と変位の関係 コンクリートの弾性係数を  $E_c$ , ポアソン比を  $\nu_c$ , そして剪断係数を  $G_c$  とするとき、版中央細かく区切った任意の位置におけるコンクリートへの応力は次式で表わせる。

$$\sigma_{cx} = \frac{E_c}{1 - \nu_c^2} \left( \frac{\partial u}{\partial x} + \nu_c \frac{\partial v}{\partial y} \right) - \frac{E_c z}{1 - \nu_c^2} \left( \frac{\partial^2 w}{\partial x^2} + \nu_c \frac{\partial^2 w}{\partial y^2} \right)$$

$$\sigma_{cy} = \frac{E_c}{1 - \nu_c^2} \left( \frac{\partial v}{\partial y} + \nu_c \frac{\partial u}{\partial x} \right) - \frac{E_c z}{1 - \nu_c^2} \left( \frac{\partial^2 w}{\partial y^2} + \nu_c \frac{\partial^2 w}{\partial x^2} \right) \quad (8)$$

$$\tau_{cxy} = G_c \left( \frac{\partial u}{\partial y} + \frac{\partial v}{\partial x} \right) - 2G_c z \frac{\partial^2 w}{\partial xy}$$

従って、コンクリートが受けた断面力を、式(6)を積分することによって次式とする。

$$T_{cx} = B_c \left( \frac{\partial u}{\partial x} + \nu_c \frac{\partial v}{\partial y} \right), T_{cy} = B_c \left( \frac{\partial v}{\partial y} + \nu_c \frac{\partial u}{\partial x} \right), T_{cxy} = \frac{1}{2} B_c (1 - \nu_c) \left( \frac{\partial u}{\partial y} + \frac{\partial v}{\partial x} \right) \quad (9)$$

$$M_{cx} = -D_c \left( \frac{\partial^2 w}{\partial x^2} + \nu_c \frac{\partial^2 w}{\partial y^2} \right), M_{cy} = -D_c \left( \frac{\partial^2 w}{\partial y^2} + \nu_c \frac{\partial^2 w}{\partial x^2} \right), M_{cxy} = -(1 - \nu_c) D_c \frac{\partial^2 w}{\partial xy} \quad (10)$$

$= 0$ ,  $B_c = E_c h / (1 - \nu_c^2)$ ,  $D_c = E_c h^3 / 12 (1 - \nu_c^2)$  である。

#### 2.4 RC 版の断面力と変位の関係

以上、コンクリートと鉄筋が受けた断面力を各自独立して求めたが、これらを重ね合せると、 $T_x = T_{cx} + T_{sx}$ ,  $M_x = M_{cx} + M_{sx}$ ,  $M_y = M_{cy} + M_{sy}$  等を考慮すると最終的に次式を得る。

$$\begin{pmatrix} T_x \\ T_y \\ T_{xy} \\ M_x \\ M_y \\ M_{xy} \end{pmatrix} = \begin{pmatrix} A_{11} & A_{12} & A_{13} & A_{14} & A_{15} & A_{16} \\ & A_{22} & A_{23} & A_{24} & A_{25} & A_{26} \\ & & A_{33} & A_{34} & A_{35} & A_{36} \\ Sym & & A_{44} & A_{45} & A_{46} & \\ & & A_{55} & A_{56} & & \\ & & & A_{66} & A_{61} & \end{pmatrix} \begin{pmatrix} \frac{\partial u}{\partial x} \\ \frac{\partial v}{\partial y} \\ \frac{\partial u}{\partial y} + \frac{\partial v}{\partial x} \\ -\frac{\partial^2 w}{\partial x^2} \\ -\frac{\partial^2 w}{\partial y^2} \\ -2 \frac{\partial^2 w}{\partial xy} \end{pmatrix} \quad (11)$$

上記係数マトリックスの各要素の値は以下の通りである。

$$\begin{aligned}
A_{11} &= B_c \left\{ 1 + m(1-\nu_c^2) \sum_i Y_i \cos^4 \theta_i \right\} & A_{33} &= B_c \left\{ \frac{1}{2}(1-\nu_c) + m(1-\nu_c^2) \sum_i Y_i \sin^2 \theta_i \cos^2 \theta_i \right\} \\
A_{12} &= B_c \left\{ \nu_c + m(1-\nu_c^2) \sum_i Y_i \sin^2 \theta_i \cos^3 \theta_i \right\} & A_{34} &= C_c m \sum_i Y_i \dot{\beta}_i \sin \theta_i \cos^3 \theta_i \\
A_{13} &= \bar{B}_c m \sum_i Y_i \sin \theta_i \cos^3 \theta_i & A_{35} &= C_c m \sum_i Y_i \dot{\beta}_i \sin^3 \theta_i \cos \theta_i \\
A_{14} &= C_c m \sum_i Y_i \dot{\beta}_i \cos^4 \theta_i & A_{36} &= C_c m \sum_i Y_i \dot{\beta}_i \sin^3 \theta_i \cos^2 \theta_i \\
A_{15} &= C_c m \sum_i Y_i \dot{\beta}_i \sin^3 \theta_i \cos^2 \theta_i & A_{44} &= D_c \left\{ 1 + 12m(1-\nu_c^2) \sum_i Y_i \dot{\beta}_i^2 \cos^4 \theta_i \right\} \\
A_{16} &= C_c m \sum_i Y_i \dot{\beta}_i \sin \theta_i \cos^3 \theta_i & A_{45} &= D_c \left\{ \nu_c + 12m(1-\nu_c^2) \sum_i Y_i \dot{\beta}_i^2 \sin^2 \theta_i \cos^2 \theta_i \right\} \quad (12) \\
A_{22} &= B_c \left\{ 1 + m(1-\nu_c^2) \sum_i Y_i \sin^4 \theta_i \right\} & A_{46} &= F_c m \sum_i Y_i \dot{\beta}_i^2 \sin \theta_i \cos^3 \theta_i \\
A_{23} &= \bar{B}_c m \sum_i Y_i \sin^3 \theta_i \cos \theta_i & A_{55} &= D_c \left\{ 1 + 12m(1-\nu_c^2) \sum_i Y_i \dot{\beta}_i^2 \sin^4 \theta_i \right\} \\
A_{24} &= C_c m \sum_i Y_i \dot{\beta}_i \sin^2 \theta_i \cos^2 \theta_i & A_{56} &= F_c m \sum_i Y_i \dot{\beta}_i^2 \sin^3 \theta_i \cos \theta_i \\
A_{25} &= C_c m \sum_i Y_i \dot{\beta}_i \sin^4 \theta_i & A_{66} &= D_c \left\{ \frac{1}{2}(1-\nu_c) + 12m(1-\nu_c^2) \sum_i Y_i \dot{\beta}_i^2 \sin^2 \theta_i \cos^2 \theta_i \right\} \\
A_{26} &= C_c m \sum_i Y_i \dot{\beta}_i \sin^3 \theta_i \cos \theta_i
\end{aligned}$$

$\therefore z = z^*, \bar{B} = E_c h, C_c = E_c h^2, F_c = E_c h^3, Z_{so} = Z_{so}/h, m = E_s/E_c$  である。

式(11)から明らかなように、多数の鉄筋群をもつて、その鉄筋群が任意の方向に配筋されたような版においては、21組の弹性定数がすべて独立して個々に有る可能性を含んでいる。上下の鉄筋群がすべて版中央面に対して対称の場合には、式(12)における $\dot{\beta}_i$ を含む項はすべて零になるので( $\dot{\beta}_i^2$ を含む項は残る)、 $T_x, T_y, T_{xy}$ は面内変形のみで、それそれ表わすことができる。しかしはかかる、上下の鉄筋群がRC版中央面に対して対称でない場合、直交配筋であっても面内と面外の相互作用が生じる。

### 3. 直交RC版の基礎偏微分方程式

多くの場合がどうである直交RC版の基礎偏微分方程式を導く。良く知られているように板要素の力の釣り合

$$\begin{aligned}
&\frac{\partial T_x}{\partial x} + \frac{\partial T_{yx}}{\partial y} = 0 & \frac{\partial M_{xz}}{\partial x} + \frac{\partial M_{yzx}}{\partial y} - Q_{xz} &= 0 \\
&\frac{\partial T_y}{\partial y} + \frac{\partial T_{xy}}{\partial x} = 0 & \frac{\partial M_{yz}}{\partial x} - \frac{\partial M_{xy}}{\partial y} + Q_{yz} &= 0 \quad (13) \quad (14)
\end{aligned}$$

によって表わすことができる。式(14)を式(13)の第3式に代入し、式(11)を考慮すると次のように、次の連立偏微分方程式を得る。

$$\begin{aligned}
A_{11}' \frac{\partial^2 u}{\partial x^2} + A_{33}' \frac{\partial^2 u}{\partial y^2} + (A_{21}' + A_{63}') \frac{\partial^2 v}{\partial x \partial y} &= A_{14}' \frac{\partial^3 w}{\partial x^3} \\
A_{33}' \frac{\partial^2 v}{\partial x^2} + A_{21}' \frac{\partial^2 v}{\partial y^2} + (A_{21}' + A_{33}') \frac{\partial^2 u}{\partial x \partial y} &= A_{25}' \frac{\partial^3 w}{\partial y^3} \\
A_{44}' \frac{\partial^4 w}{\partial x^4} + 2(A_{45}' + 2A_{46}') \frac{\partial^4 w}{\partial x^2 \partial y^2} + A_{55}' \frac{\partial^4 w}{\partial y^4} &= f + A_{14}' \frac{\partial^3 u}{\partial x^3} + A_{25}' \frac{\partial^3 v}{\partial y^3} \quad (15.a,b,c)
\end{aligned}$$

式(15)が直交RC版の基礎微分方程式である。式(15.c)は曲げに対するものであり、式(15.a,b)は面内変形に関する式を表しているが、曲げの方程式には面内変形を表す $u, v$ が、面内変形に関する方程式には面外変形を表す $w$ が含まれて入っている。すなはち、式(15)は面内変形と面外変形の相互作用を表している。

しかしながら、当然予想出来る事であるが、面内変形と面外変形への影響は非常に小さくなるのである。<sup>(4)</sup>

とくに、一般的に用いられてゐるRC版の偏微分方程式との比較のために、中央面に対して対称配筋の場合すなはち、面内変形と面外変形の相互作用がない場合について考察してみる。この場合、式(15.c)は次式となる。

$$D_x \frac{\partial^4 w}{\partial x^4} + 2H \frac{\partial^4 w}{\partial x^2 \partial y^2} + D_y \frac{\partial^4 w}{\partial y^4} = f \quad (16)$$

$$\begin{aligned}
D_x &= E_c / (1 - \nu_c^2) \cdot (h^3/12 + 2m(1-\nu_c^2)h^3 Y_x \zeta_x^2) \\
D_y &= E_c / (1 - \nu_c^2) \cdot (h^3/12 + 2m(1-\nu_c^2)h^3 Y_y \zeta_y^2) \\
H &= E_c / (1 - \nu_c^2) \cdot h^3/12 \quad (17.a,b,c)
\end{aligned}$$

したがって、 $r_x = A_x / s_x h$ ,  $r_y = A_y / s_y h$ ,  $\zeta_x = c_x / h$ ,  $\zeta_y = c_y / h$  であり、 $c_x, c_y$  は中央面から  $x, y$  方向の鉄筋の位置までの距離である。

Huber は、RC 版に適する彼の最初の論文<sup>(2)</sup>で、鉄筋を纖維状と考え、次の  $D_x, D_y, H$  を提案した。

$$\begin{aligned} D_x &= E_c / (1 - \nu_c^2) \cdot [I_{c0} + m(1 - \nu_c^2) I_{sx}] \\ D_y &= E_c / (1 - \nu_c^2) \cdot [I_{c0} + m(1 - \nu_c^2) I_{sy}] \\ H &= \nu_c (D_x + D_y) / 2 + (1 - \nu_c) D_c + \Delta \end{aligned} \quad (18.a, b, c)$$

したがって、 $I_{c0}$  はコンクリートの断面二次モーメント、 $I_{sx}, I_{sy}$  は鉄筋の  $x$  方向と  $y$  方向についての断面二次モーメントであり、 $\Delta$  は鉄筋のねじりに対する剛性への寄与を表す定数であり、配筋量が少なければ場合によっては  $\Delta = 0$  と出来るとした。 $D_x, D_y$  は、(17) 式と同じ結果を与える。その後、彼は  $H$  として、良い知り合いで次の式を提案した<sup>(3)</sup>。

$$H = (\nu_y D_x + \nu_x D_y) / 2 + 2C \quad (19)$$

$C$  は、ねじりモーメントによる変形係数とそれを等価な  $45^\circ$  方向の曲げモーメントによる変形係数との釣り合により求め、それを構成する 3 フラクターベース曲げ剛性とボアソン比を、その二方向の相乗平均として表された。

Timoshenko は、これらの一節を修正して

$$H = \sqrt{D_x D_y} \quad (20)$$

などを用いて<sup>(4)</sup>。尚、 $D_x, D_y$  は換算断面の考え方を採用している。しかししながら、 $H$  に関する二つの式は、鉄筋群を板と考え、ねじりに対するモーメントと同時に抵抗できるものとしており、明らかに過大評価である。また、今、式(18.c)と式(19)とかく  $H$  として次式を考えよう。

$$H = (\nu_y D_x + \nu_x D_y) / 2 + (1 - \nu_c) D_c + \Delta \quad (21)$$

上式において、 $\nu_y D_x = \nu_x D_y = \nu_c D_c$  、 $\Delta = 0$  とする。

$$H = D_c = E_c / (1 - \nu_c^2) \cdot h^3 / 12 \quad (22)$$

となり、式(17.c)と一致する。実際の  $H$  の値は  $\sqrt{D_x D_y}$  と  $D_c$  との間にあらざる事の容易に想像出来る。

しかし、通常の鉄筋比程度では  $H = D_c$  に近いと思われる。

#### 4. 数値計算例及び考察

鉄筋が版中央面に非対称に配筋された場合の面内変形と面外変形への影響を、式(11)と用いた応力特性について、文献(1)で述べた。

本報告では、鉄筋が版中央面に対して対称に配筋された場合について、 $H$  の値と  $D_c$  の値とを比較検討する。

数値計算に用いた諸数値は、 $\zeta_x = 0.368$ ,  $\zeta_y = 0.305$ ,  $r_x = r_y = 0.01$ ,  $m = 7$  であり、周辺単純支持等分布荷重の正方形版を対象とする。

表.1 は、最大たわみ、最大曲げモーメントの値を示す。これによれば、 $H = D_c$  による値は  $H = \sqrt{D_x D_y}$  による値と比較して、たわみを約 16%,  $M_{x\max}$  を約 12%,  $M_{y\max}$  を約 7% 増加している。

上記したように、実際の値がこの中間にあらざることは疑いはない。

また図.2 は、 $45^\circ$  方向の  $M_{xy}$  の分布を  $H = D_c$ ,  $\sqrt{D_x D_y}$  の各々の場合について示したものであり、中央で零、隅角部で最大となることが分かる。

以上、RC 版の異方性版としての特性を調べるために、鉄筋を網とし 3 方法で力と変位の関係を導出し、基礎偏微分方程式を得た。これによって、直交に限らず、任意の方向に任意の数の鉄筋群が存在する場合についても、任意の異方性を表す

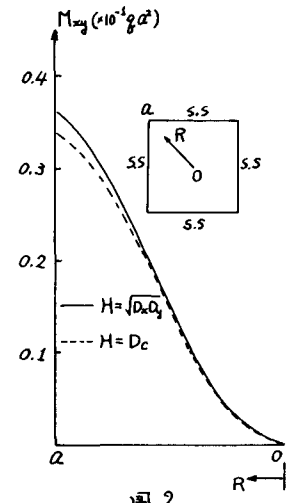


図.2

表.1

$H$	$M_{x\max} (10^{-4} g/cm^2)$	$M_{y\max} (10^{-4} g/cm^2)$	$M_{xy\max} (10^{-4} g/cm^2)$
$\sqrt{D_x D_y}$	0.321	0.430	0.427
$D_c$	0.372	0.482	0.457

RC版としての基礎偏微分方程式を求めることができた。

また、中央面に対称に配筋した場合について、 $H = \sqrt{D_x D_y}$  を用いたりと  $H = D_c$  を用いたものと比較して、両者の間には、かなりの差があることが分った。

専門計算には、北大大型計算機センター FACOM 230-75 を用いた。

#### 〔参考文献〕

1. 堀、能町、角田；RC版の弾性応力について、土木学会年次講演会, I-97
2. M.T. Huber ; Die Grundlagen einer rationellen Berechnung der kreuzweise bewehrten Eisenbetonplatten, Zeitschrift Des Österreich. Ingenieur - Und Architekten-Vereins Nr. 30, 24. Juli. 1914
3. M.T. Huber ; Die Theorie der kreuzweise Bewehrten Eisenbetonplatten nebst Anwendungen auf mehrere bautechnisch wichtige Aufgaben über rechteckige Platten, Der Bauingenieur, Heft 12, Heft 13, 1923
4. M.T. Huber ; Über die genaue Biegungsgleichung einer orthotropen Platte in ihrer Anwendung auf kreuzweise bewehrte Betonplatten, Der Bauingenieur, Heft 30, 1925
5. Th. Baumann ; Tragwirkung orthogonaler Bewehrungsnetze beliebiger Richtung in Flächentragwerken aus Stahlbeton, Deutscher Ausschuss für Stahlbeton, Heft 217, 1972
6. S.P. Timoshenko ; Theory of Plates and Shells , 2-nd Edition , p. 366